

岡山大学工学部 正員 森 忠次  
岡山大学工学部 正員 田代 遼

## 1.はじめに

航空機、人工衛星等を利用して遠隔探査データから自動的に土地利用図、緑地図を作成したり、アナリティカルプロセッサによる自動回化が試みられているが、データを処理する上で、大気の影響が一つの大まな経路にならっている。すなわちセンサからの視線方向、観測高度等により、大気の光学距離が異なってセンサの応答が一様でなくなり、統一的な処理ができなくなる。この報文では、簡単なモデルによってセンサへの大気の影響をシミュレートして<sup>1)</sup>、さらに地物判別のための前処理として、それを消去する方法を考察した。センサとしてマルチスペクトルスキャナ(MSS)およびカメラ型の赤外カーラー写真を用いた。

## 2. センサへのイラジアンスと応答

MSSの相対的応答は各特定の検出器につき

$$R = \int_0^{\infty} S_M \left( \frac{\rho H}{\pi} T_a + N_p \right) d\lambda$$

で与えられる。またカメラ型の場合応答はフィルム濃度Dとなり次式で与えられる。

$$H' = \left( \frac{\rho H}{\pi} T_a + N_p \right) \frac{\pi T_a}{4(F_b)^2} [\cos^n \theta \cdot K_{F_{num}}(\theta)]$$

$$D = \gamma \log \left( \int_0^{\infty} H' S_F d\lambda \right) + D_0$$

ここで H; 地表の分光イラジアンス P; 地物の分光反射率(ラフバーシャンを仮定) T<sub>a</sub>; 大気の透過率 N<sub>p</sub>; 大気のパスラジアンス S<sub>M</sub>; MSSの分光感度 H'; フィルム面のイラジアンス T<sub>b</sub>; レンズ系透過率 F<sub>b</sub>; レンズのFナンバー n, K<sub>Fnum</sub>; カメラの定数 γ; D-logE曲線の勾配 (3.0とする) S<sub>F</sub>; フィルムの分光感度 D<sub>0</sub>; 初期濃度

シミュレーションには、N<sub>p</sub>, T<sub>a</sub>はモデルを、他の項は実測値を使った。各項を次に概要説明する。

① T<sub>a</sub>—大気分子によるRayleigh散乱、エアロゾルによるMie散乱のみを考慮する。<sup>2)</sup> Mie散乱は視程に基づく算定法を採用した。<sup>3)</sup> 両者の消散係数の和をKとすると大気透過率は T<sub>a</sub> = exp(- ∫<sub>0</sub><sup>h\_max</sup> K dz) で計算できる。hはセンサ高度である。

② N<sub>p</sub>—大気の散乱輻射のモデルは非常に精緻なものが作られていて<sup>4)</sup>が、今回は概要の様子がわかるばよいので簡単な天空光方程式を用いた。すなわち

$$N_p = N_g (1 - T_a) \quad \text{で}, N_g \text{は平衡輝度である。}$$

N<sub>g</sub>はERTSに対してMalilaの算定した値から求めた。なお背景からの多重散乱による項は0とした。

③ H—例として米国の観測値をとった。<sup>5)</sup> (12:05 pm, Solar Zenith 44.4°, 晴)

④ S<sub>M</sub>—LANDSATのMSSの分光感度を採用

⑤ F/D, T<sub>e</sub>, n; 15/23 Univ. Aviogen F-8 + Yafilta の諸元

⑥ S<sub>F</sub>—Kodak Ektachrome Infrared 2443の分光感度

## 3. 画像の濃度値とMSS応答に対する前処理について

分子散乱のみを考慮した時、完全散乱板(P=1)のフィルム面上でのイラジアンスの値を各視準角θに対して、図-1に示す。画角が大きくなるとフィルム面の光量は急激に落ちることがわかる。また同じ完全散乱板のフィルム濃度を各高度、画角に対して図-2に、グレイスケール、植物、土壤の濃度を各画角に対して図-3に示す。濃度は視程無限大のとき完全散乱板が示す濃度を0として計算した。Hを快晴日のそれについていることで、大気の影響は過小に評価されている上に、現実にはγは定数ではなくて各感光層ごとに異なるので、図のような直線性は期待できないが、結論として、(1)画角の小さいうちは濃度変動は直線的である。(2)濃度変動の直線勾配は地物固有の分光反射率によってやや異なる、ということができるよう。従って写真画像から大気の影響を消す前処理として、濃度座標上で直線の勾配をいくつかの基準板から測定して、各座標 D<sub>1</sub>, D<sub>2</sub> の値に対して D<sub>1</sub> - α D<sub>2</sub> を合成分量とすれば、地物固有の変量を得られると考えられる。ここで α は直線の勾配である。ただ(2)の影響が強ければ特定の地物のみを抽出するのに有効となるであろう。

次にMSSの応答をBand 2(Green), Band 3(Red)について、図-4に示す。上と同じ種類のいくつかの地物を各視準角に対して表わしてある。図-4から、2つのBandの反射率が類似のものは、平衡輻射の差からほぼ同じテ

向に分布していることがわかる。MSSの応答から、  
大気の影響を消す前処理として、このことから次の方  
法が考えられる。グランドトルースによって、測定値  
と地物とを対比させ、応答座標上で、平衡輻射の強度  
IRを決定する。次にIRを原点としてデータXの方向余  
弦mを求めてこれを新しい变量とすればよい。IR、  
Xはそれぞれ応答座標上での位置ベクトルである。m  
は  $m = (X - IR) / \|X - IR\|$  で求められる。これ  
と同様の方法は、LANDSAT テータに対して、  
Quielが提案している。<sup>(6), (7)</sup>  $\beta_6$  のように $\beta$ の値を差し  
込むのは地表のイ  
ラジアンスが低下  
したことと同じこと  
であって、方向余  
弦の変化が大きい  
北側斜面の地物の  
ようないラジアン  
スの分光分布も分  
光強度も異なる。

く変わら場合

は、デジタル  
レインモデ  
ル等を導入し  
て処理法が必  
要となる。

実際のカラ  
ー空中写真の  
データ、およ

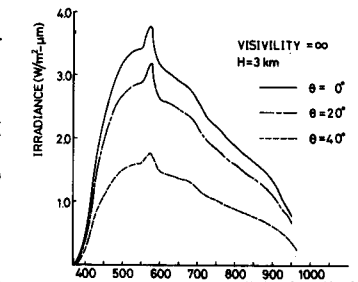


図-1 完全散乱板のイラジアンス

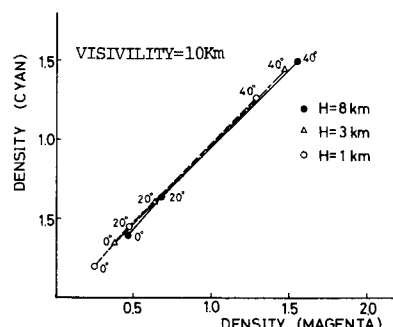


図-2 完全散乱板の濃度値

がMSSデータの  
処理結果につ  
いては講演時に  
発表する。

この報文を總  
めるとあって  
は、岡山大学教  
官岡田邦久君に  
非常にお世話を  
かりました。

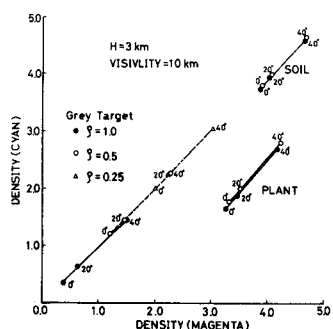
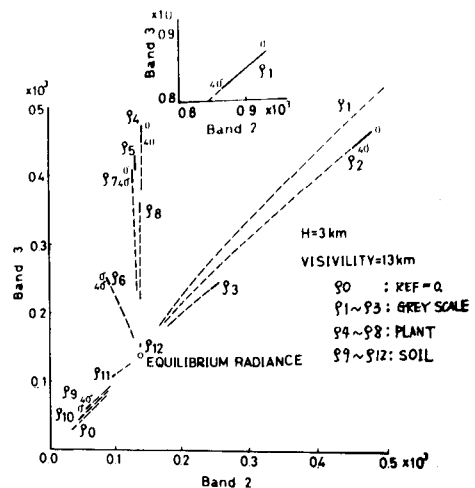


図-3 各地物の濃度値



GREY SCALE  $\beta_0 = 0.0, \beta_1 = 1.0,$   
 $\beta_2 = 0.5, \beta_3 = 0.25$   
 PLANT  $\beta_4 = 0.2, \beta_5 = 0.9 \times 10^{-3}$   
 $\beta_6 = 0.4 \times 0.5, \beta_7 = 1.1 \times 10^{-3}$   
 $\beta_8 = 0.3 \times 0.5, \beta_9 = 0.7 \times 10^{-3}$   
 SOIL  $\beta_{10} = 0.1, \beta_{11} = 0.9 \times 10^{-3}$   
 $\beta_{12} = 0.2, \beta_{13} = 0.7 \times 10^{-3}$

図-4 各地物のMSS応答

- 1) 森 浩次, 股部 遼, カメラ型リモートセンシングにおける大気の影響, 第29回土木学会中国四国支部学術講演概要, PP. 177~178, 1977
- 2) Jensen, Niels, Optical and Photographic Reconnaissance Systems, Wiley, PP. 35~46, 1968
- 3) 和座清夫, 他, リモートセンシング, 腹倉書店, PP. 152~164, 1976
- 4) Turner, Robert E., Atmospheric Model for Correction of Spacecraft Data, Proceedings of the 8th Symposium on Remote Sensing of Environment, PP. 895~934, 1973
- 5) Manual of Remote Sensing, American Society of Photogrammetry, PP. 850, 1975
- 6) Quiel, Von Friedrich, Zur Vorverarbeitung multispektraler Daten, Bildmessung und Luftbildwesen, 44. Jg., Bul. 1, PP. 42~46, 1976
- 7) Quiel, Von Friedrich, Zur Vorverarbeitung multispektraler Daten, Bildmessung und Luftbildwesen, 44. Jg., Bul. 2, PP. 61~65, 1976